10

# Эффект Фарадея в трехпериодических бигиротропных фотонных кристаллах

© Н.Н. Дадоенкова<sup>1</sup>, И.А. Глухов<sup>1,2,3</sup>, И.С. Паняев<sup>1,2</sup>, Д.Г. Санников<sup>1,2</sup>, Ю.С. Дадоенкова<sup>4</sup>

Ульяновск, Россия

<sup>4</sup> Université Jean Monnet Saint-Etienne, CNRS, Institut d'optique Graduate School,

Laboratoire Hubert Curien UMR 5516, Saint-Etienne, France

e-mail: panyaev.ivan@rambler.ru

Поступила в редакцию 09.12.2024 г. В окончательной редакции 06.05.2025 г. Принята к публикации 14.06.2025 г.

> Теоретически исследован магнитооптический эффект Фарадея в одномерных трехпериодических фотоннокристаллических структурах на основе диэлектриков (SiO2, TiO2) и ферритов-гранатов (YIG, Bi:YIG), образующих сверхъячейки вида  $[(ab)^N(cd)^M]$ . Рассмотрена полярная магнитооптическая конфигурация, при которой векторы намагниченности магнитных слоев фотонных кристаллов ортогональны границам слоев, а электромагнитная волна, распространяющаяся в фотонно-кристаллической структуре, имеет составляющую волнового вектора вдоль направления векторов намагниченности. С использованием метода матриц (4 × 4) получены частотно-угловые спектры прохождения плоских электромагнитных волн сквозь данные фотонные кристаллы. Исследованы положение и структура полос пропускания в спектрах запрещенных фотонных зон, зависимости углов фарадеевского вращения от частоты и угла падения электромагнитной волны для фотонных кристаллов при  $N=3,\ M=5$  и K=7 (оптимальное количество периодов) при различных толщинах магнитных слоев. Показано, что в трехпериодических фотонных кристаллах возможно совмещение высоких значений коэффициентов пропускания и углов фарадеевского вращения, что делает данные структуры перспективными для различных технических приложений.

Ключевые слова: магнитооптический эффект Фарадея, запрещенная фотонная зона, фотонные кристаллы.

DOI: 10.61011/OS.2025.08.61513.7412-25

# Введение

Магнитооптический эффект Фарадея известен как изменение состояния поляризации электромагнитной волны (ЭМВ) при прохождении сквозь магнитную среду или сложную структуру на основе магнитных материалов. В частности, проявлением этого эффекта является вращение плоскости поляризации линейнополяризованного оптического луча — фарадеевское вращение (ФВ) [1,2]. В настоящее время эффект Фарадея широко применяется для исследования магнитной структуры тонких магнитных пленок и многослойных магнитных материалов [1-3], а также для различных приложений, включая создание таких невзаимных устройств, как оптические изоляторы, циркуляторы или фазовращатели [1], магнитные датчики [4] или даже датчики химического обнаружения [5]. Большой интерес к исследованию ФВ вызывают перспективы многочисленных приложений в связи с возможностью управления эффектом при помощи внешних воздействий (внешние магнитное или электрическое поля, температура и т.д.) в различных функциональных материалах, в частности в электрооптических [6,7], плазмонных, магнитоплазмонных структурах [8], в комбинированных магнитных и электрооптических гетероструктурах [9], а также в магнитофотонных [10,11] и фотонно-магнонных кристаллах [12–16].

Фотонные кристаллы (ФК) благодаря искусственной периодичности показателя преломления имеют запрещенные фотонные зоны (ЗФЗ) в спектрах пропускания [17]. Нарушение периодичности ФК внедрением отдельных дефектных слоев или периодически распределенных других структурных элементов приводит к появлению узких пиков пропускания (дефектных мод) или систем пиков — полос пропускания структуры, сложность которых зависит от архитектуры дефекта. Внутри ЗФЗ однопериодического ФК с единственным дефектным слоем может находиться один или несколько (в зависимости от толщины дефекта) отдельных узких пиков пропускания. Так, например, в работе [18] полуширина пика пропускания для ФК с магнитным дефектом составляет примерно 1 THz-rad при ширине 3Ф3 0.33 PHz·rad. Наличие дефектных мод позволяет использовать подобные ФК в качестве узкополосных частотных

<sup>1</sup> Донецкий физико-технический институт им. А.А. Галкина,

Донецк, Россия <sup>2</sup> Ульяновский государственный университет,

<sup>&</sup>lt;sup>3</sup> Ульяновский филиал Института радиотехники и электроники им. В.А. Котельникова РАН, Ульяновск, Россия

фильтров и сенсоров. Отдельный интерес представляют собой ФК со сложной структурой элементарной ячейки на основе нескольких различных материалов, образующих внутри нее периодические подсистемы, ввиду модифицированной структуры их 3Ф3. К ним относятся, в частности, двухпериодические [12-16] и трехпериодические ФК [19-23]. В отличие от однопериодических структур с дефектным слоем в более сложных системах, к которым относятся двух- и трехпериодические ФК, внутри ЗФЗ имеются достаточно широкие полосы пропускания, которые, в частности, могут состоять из нескольких близко расположенных пиков (аналог "оптической гребенки") [12–14]. Количество внутризонных полос пропускания, их положение внутри 3Ф3 и ширина существенно зависят от комбинации материалов, образующих подьячейки трехпериодического ФК и геометрических параметров системы [19-23]. Включение магнитных слоев в структуру с комплексной элементарной ячейкой позволяет сочетать особенности сложного трехпериодического ФК с магнитооптическими свойствами, что дает возможность активного управления оптическими характеристиками такой системы.

В работе [12] был исследован эффект Фарадея в фотонно-магнонных структурах, представляющих собой одномерные двухпериодические магнитные ФК на основе чередующихся слоев SiO2, TiO2 с периодически внедренными между ними магнитными слоями железоиттриевого граната (YIG) Y<sub>3</sub>Fe<sub>5</sub>O<sub>12</sub>. Как известно, YIG, который отличается низким поглощением в ближнем инфракрасном (ИК) диапазоне в сочетании с эффектом Фарадея, является одним из традиционных магнитных материалов для СВЧ и магнитооптических приложений. Однако для создания миниатюрных устройств актуально получение больших углов поворота плоскости поляризации и достижение высокой чувствительности обнаружения на основе ФВ, что является достаточно важной и сложной задачей. Для этих целей необходим подбор и поиск материалов с большим ФВ, например Се:ҮІС [24,25] или Ві:ҮІС [26] и структур [27], усиливающих эффект Фарадея. Так, например, в экспериментах [28,29] на магнитофотонных структурах на основе слоев оксидов кремния и титана SiO2, TiO2 с комплексным магнитооптическим дефектом, составленным из слоев висмут-замещенных железо-иттриевых гранатов Ві:ҮІG,  $\Phi$ В достигало максимального значения  $20.6^{\circ}$ . Таким образом, для достижения больших значений ФВ важен поиск магнитофотонных композитов, в которых можно ожидать большого ФВ для мод, локализованных в магнитной подсистеме [8,11,29-32]. В качестве таких сред в работе [12] были рассмотрены магноннофотонные кристаллы, где эффект Фарадея рассчитан теоретически. Для магнонно-фотонных кристаллов вблизи внутризонных полос пропускания были получены максимальные значения  $\Phi B$ , составляющие около  $2^{\circ}$ (или  $0.11^{\circ}/\mu m$ ) для *s*-поляризованного света и на порядок меньше для света р-поляризации. При этом было показано, что положение максимумов ФВ не совпадает с частотами пиков пропускания. В итоге для магноннофотонных ФК при близкой к единице пропускательной способности углы ФВ оказывались порядка одной десятой или даже сотой доли градуса.

Преимущество трехпериодической структуры по сравнению с фотонно-кристаллическими структурами с дефектами, двухпериодическими фотонными кристаллами и другими условно более простыми структурами заключается в большем количестве степеней свободы при создании систем с наперед заданными оптическими свойствами, что позволяет производить более тонкую настройку положения центра 3Ф3, регулировать ее ширину, положение и четкость краев 3Ф3 [19–23].

В настоящей работе мы ставим целью нахождение таких ФК-систем, в которых максимумы ФВ и высокие значения коэффициентов пропускания ЭМВ совмещаются спектрально. Для этого мы рассматриваем более сложную структуру — трехпериодический магнитный ФК – систему на основе слоев четырех различных материалов a, b, c, d, элементарная ячейка которой  $[(ab)^N(cd)^M]$ составлена из фрагментов двух различных  $\Phi \mathbf{K} \ (ab)^N$ и  $(cd)^{M}$ , где N, M — количество соответствующих периодов. Подъячейки трехпериодического ФК (ав) и (cd) могут быть сформированы из слоев a,b,c и dмножеством различных способов, и, как было показано в работе [19], оптические свойства таких ФК могут существенным образом отличаться в зависимости от подбора материалов в пары и чередования слоев. Различия проявляются в спектрах пропускания (отражения) в положении и ширине 3Ф3, количестве и расположении внутризонных полос пропускания (отражения) и их структуры. В работе [33] нами был рассмотрен трехпериодический магнитный ФК, в котором первая ячейка (ав) состояла из диэлектрических немагнитных слоев  $SiO_2$  и  $TiO_2$ , а вторая (cd) — из магнитных бигиротропных слоев YIG и Bi:YIG. Такой выбор материалов позволил получить достаточно широкую 3Ф3 с системой узких внутризонных пиков пропускания [33]. В настоящей работе мы акцентируем внимание на трехпериодическом ФК, в котором обе составляющие его подъячейки содержат магнитные слои YIG или Bi:YIG, что приводит к отличной от прежних структур 3Ф3 и полос пропускания.

# 2. Постановка задачи и теория

Рассмотрим трехпериодический ФК  $[(SiO_2/YIG)^N(TiO_2/Bi:YIG)^M]^K$ , сверхъячейка которого, повторенная K раз, представляет собой комбинацию фрагментов двух магнитных периодических структур  $(SiO_2/YIG)$ N и  $(TiO_2/Bi:YIG)$ М (рис. 1, a). В дальнейшем для упрощения записи введем следующие обозначения для слоев  $SiO_2$ ,  $TiO_2$ , YIG и Bi:YIG: S, T, Y, B соответственно. Таким образом, ФК-структура запишется в виде  $[(SY)^N(TB)^M]^K$ . Толщины подъячеек (SY) и (TB), т.е. подпериоды, обозначены как

 $D_1 = d_S + d_Y$  и  $D_2 = d_T + d_B$ , а толщина сверхьячейки (сверхпериод) равна  $D_3 = ND_1 + MD_2$ . Общая толщина рассматриваемой структуры из K сверхпериодов равна  $KD_3$ . Слои ФК расположены параллельно плоскости (xy), а ось z совпадает с осью роста ФК. Будем предполагать, что продольные размеры ФК по осям x и y достаточно велики, так что граничными эффектами в этих направлениях можно пренебречь.

Слои YIG и Ві:YIG намагничены до насыщения вдоль или против оси z путем приложения внешнего магнитного поля  $\mathbf{H}_0$  в соответствующем направлении. С учетом слагаемых первого порядка малости по компонентам вектора намагниченности тензоры диэлектрической и магнитной проницаемостей имеют следующий вид [1]:

$$\hat{\varepsilon}_{j} = \begin{pmatrix} \varepsilon_{j} & i\varepsilon'_{j} & 0\\ -i\varepsilon'_{j} & \varepsilon_{j} & 0\\ 0 & 0 & \varepsilon_{j} \end{pmatrix},$$

$$\hat{\mu}_{i} = \begin{pmatrix} \mu_{i} & i\mu' & 0\\ -i\mu_{j} & \mu_{j} & 0\\ 0 & 0 & \mu_{i} \end{pmatrix}, \quad (j = Y, B), \tag{1}$$

где магнито-индуцированные недиагональные компоненты тензоров  $\varepsilon_j$  и  $\mu_j$  отвечают за бигиротропные свойства ферритов-гранатов YIG и Bi:YIG. Немагнитные диэлектрики SiO2 и TiO2 обладают изотропными оптическими свойствами и характеризуются соответствующими диагональными тензорами  $\varepsilon_{S(\alpha\beta)} = \varepsilon_S \delta_{\alpha\beta}, \, \mu_{S(\alpha\beta)} = \delta_{\alpha\beta}, \, \varepsilon_{S(\alpha\beta)} = \varepsilon_T \delta_{\alpha\beta}, \, \mu_{T(\alpha\beta)} = \delta_{\alpha\beta} \, (\alpha\beta = x,y,z; \, \delta_{\alpha\beta} - \text{дельтасимвол Кронекера}). Все материалы, образующие ФКструктуру, прозрачны в ближнем ИК диапазоне длин волн и характеризуются вещественными значениями диэлектрических проницаемостей <math>\varepsilon_j$  (j=0,S,T,Y,B), причем входная и выходная среды (воздух) обозначены как 0.

Плоская ЭМВ s- или p-поляризации (красный ( $\mathbf{E}_s^i$ ) или синий ( $\mathbf{E}_p^i$ ) векторы на рис. 1,b соответственно) с угловой частотой  $\omega$  и волновым вектором  $\mathbf{k}_0^i = (k_x,0,k_{0z})$  падает из воздуха на поверхность ФК под углом  $\theta$  так, что плоскостью падения является плоскость (xz). С учетом направления векторов намагниченности в слоях YIG и Bi:YIG это соответствует полярной магнитооптической (MO) конфигурации [1] (рис. 1,b). В этом случае нормальными ЭМВ в магнитных средах являются волны эллиптических поляризаций [2] с волновыми векторами  $\mathbf{k}_{zi}^+ = (k_x 0, k_{zi}^+)$ , (j = Y, B):

$$k_{zj}^{\pm} = \left(\Omega^{2}(\varepsilon_{j}\mu_{j} + \varepsilon_{j}'\mu_{j}') - k_{x}^{2} \pm \Omega(\varepsilon_{j}\mu_{j}' + \mu_{j}\varepsilon_{j}')\right) \times \left[(-k_{x}^{2} + \Omega^{2}\varepsilon_{j}\mu_{kj})/\varepsilon_{j}\mu_{j}\right]^{1/2}, \quad (2)$$

где введено обозначение  $\omega = \omega/c$ .

Прошедшая ЭМВ  $\mathbf{E}^t$  поляризована эллиптически, ее плоскость поляризации повернута на угол  $\varphi_s$  или  $\varphi_p$  (угол  $\Phi$ В) по отношению к плоскости поляризации падающей волны s- или p-поляризации соответственно (рис. 1, c и d).

Электрическое и магнитное поля в бигиротропных слоях могут быть записаны в виде суперпозиции четырех волн: двух (падающих) волн, распространяющихся вдоль оси  $\mathbf{z}$ , и двух волн, идущих в обратном направлении (отраженных), обозначенных соответственно индексами i и r:

$$E_{\alpha,j}(z) = E_{\alpha,j}^{i+} \exp(lk_{zj}^{+}z) + E_{\alpha,j}^{r+} \exp(-ik_{zj}^{+}z)$$

$$+ E_{\alpha,j}^{i-} \exp(ik_{zj}^{-}z) + E_{\alpha,j}^{r-} \exp(-ik_{zj}^{-}z),$$

$$H_{\alpha,j}(z) = E_{\alpha,j}^{i+} \exp(lk_{zj}^{+}z) + H_{\alpha,j}^{r+} \exp(-ik_{zj}^{+}z)$$

$$+ H_{\alpha,j}^{i-} \exp(ik_{zj}^{-}z) + H_{\alpha,j}^{r-} \exp(-ik_{zj}^{-}z),$$
 (3)

где  $\alpha = x, y, z, j = Y, B$ .

В каждом из изотропных слоев  $SiO_2$  и  $TiO_2$  электромагнитное излучение представляет собой суперпозицию независимых волн s- и p-поляризаций с составляющими компонентами волновых полей  $\{H_x, E_y, H_z\}$  и  $\{E_x, H_y, E_z\}$  соответственно, волновые векторы которых  $\mathbf{k}_j = (k_x, 0, k_{jz}), (j = S, T)$  совпадают:

$$E_{\alpha,j}(z) = E_{\alpha,j}^{i} \exp(ik_{q}z) + E_{\alpha,j}^{r} \exp(-ik_{q}z),$$

$$H_{\alpha,j}(z) = H_{\alpha,j}^{i} \exp(ik_{q}z) + H_{\alpha,j}^{r} \exp(-ik_{q}z).$$
(4)

Здесь  $k_q = \sqrt{-k_x^2 + \Omega^2 \varepsilon_j \mu_j}$  — z-компоненты волновых векторов, совпадающие для s- и p-поляризованных волн в каждой из изотропных сред.

Из уравнений Максвелла, дополненных материальными соотношениями для бигиротропных сред, получаем соотношения амплитуд для компонент электрического и магнитного полей:

$$H_{x}^{+} = -\delta_{\varepsilon}^{+} E_{y}^{+}, \ E_{x}^{+} = i \gamma_{s}^{+} E_{y}^{+}, \ H_{y}^{+} = -i \beta_{\varepsilon}^{+} E_{y}^{+},$$

$$E_{x}^{-} = \delta_{\mu}^{-} H_{y}^{-}, \ H_{x}^{-} = i \gamma_{\mu}^{-} H_{y}^{-}, \ E_{y}^{-} = -i \beta_{\mu}^{-} H_{y}^{-},$$
(5)

где коэффициенты  $\beta_{\varepsilon j}^+,\, \gamma_{\varepsilon j}^+$  и  $\delta_{\varepsilon j}^+$  определены следующим образом:

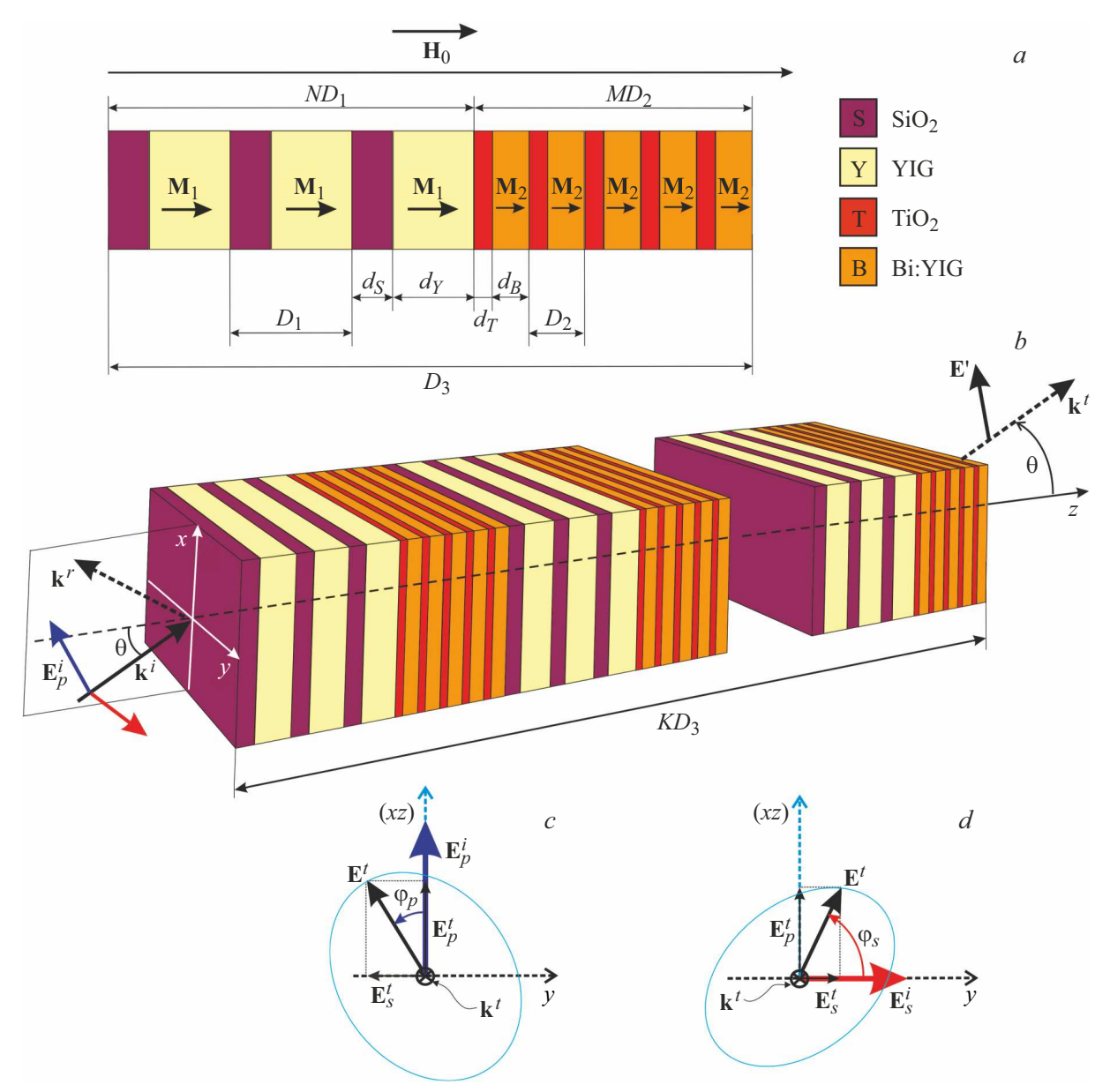
$$\begin{split} \gamma_{\varepsilon j}^{+} &= i \left[ \varepsilon_{j}^{\prime} (\varepsilon_{j} \Delta \mu_{j} \Omega^{2} - \mu_{j} k_{x}^{2}) + \mu_{j}^{\prime} \varepsilon_{j} (k_{zj}^{+})^{2} \right] / N_{\varepsilon j} (k_{zj}^{+}), \\ \delta_{\varepsilon j}^{+} &= k_{q}^{+} \varepsilon_{J} \left[ (k_{zj}^{+})^{2} - k_{x}^{2} - \Omega^{2} (\varepsilon_{j} \mu_{j} + \varepsilon_{j}^{\prime} \mu_{j}^{\prime}) \right] / N_{\varepsilon j} (k_{zj}^{+}), \\ \beta_{\varepsilon j}^{+} &= i \varepsilon_{j} \mu_{j}^{\prime} + \mu_{j} \varepsilon_{j}^{\prime} ) k_{zj}^{+} \Omega / N_{\varepsilon j} (k_{zj}^{+}) \end{split}$$
(6)

и введены обозначения

$$N_{\varepsilon j}(k_{zj}^+) = \varepsilon \mu [(k_{zj}^+)^2 + k_x^2] - \Omega^2 \varepsilon^2 \Delta \mu,$$
  
$$\Delta \varepsilon_j = \varepsilon_j^2 - \varepsilon_j^2, \ \delta \mu_j = \mu_j^2 = \mu_j^2 - \mu_j^2.$$

Остальные коэффициенты  $\beta_{\mu j}^+, \gamma_{\mu j}^+$  и  $\delta_{\mu j}^+$  получаются из соответствующих выражений (6) путем замены  $\varepsilon \leftrightarrow \mu$ .

Для нахождения амплитуд прошедшей ЭМВ использован стандартный метод матрицы переноса размерности  $(4 \times 4)$  [34]. Для записи в матричном виде уравнений непрерывности для тангенциальных компонент электрического  $E_{x,y}$  и магнитного  $H_{x,y}$  полей на каждой



**Рис. 1.** Схема трехпериодического магнитооптического  $\Phi K [(SY)^N (TB)^M]^K$ : a — сверхъячейка  $\Phi K$  при N=3, M=5 (черными стрелками обозначены векторы намагниченности  $\mathbf{M}_1$  и  $\mathbf{M}_2$  в слоях YIG и Ві:YIG соответственно),  $\mathbf{H}_0$  — постоянное внешнее магнитное поле, b — эффект Фарадея при прохождении ЭМВ сквозъ трехпериодический  $\Phi K$ . Синими и красными стрелками обозначены электрические составляющие падающих ЭМВ s- или p-поляризаций ( $\mathbf{E}_s^i$ ,  $\mathbf{E}_p^i$  соответственно), черной стрелкой — вектор электрического поля прошедшей ЭМВ  $\mathbf{E}^t$ . c и d — схематическое представление углов  $\Phi B$   $\varphi_p$  и  $\varphi_s$  в случаях падающих ЭМВ p- и s-поляризаций соответственно. Вертикальные штриховые линии показывают проекцию плоскости ( $x_z$ ).

из границ раздела сред мы вводим векторы-столбцы амплитуд полей в каждом из слоев  $\Phi K$ :

$$\psi_j = (E_{yj}^{I+} E_{yj}^{r+} H_{yj}^{I-} H_{yj}^{r-})^{\tau},$$

где  $\tau$  означает операцию транспонирования. Аналогичным образом для входной и выходной сред (учитывая наличие отраженной волны в первой из них и прошедшей во второй) запишем

$$\label{eq:psi_norm} \pmb{\psi}_{0}^{\rm in} = (E_{y0}^{I(s)} E_{y0}^{r(s)} H_{y0}^{I(p)} H_{y0}^{r(p)})^{\tau},$$

$$\psi_0^{\text{out}} = (E_{y0}^{t(s)} \, 0 \, H_{y0}^{t(p)} \, 0)^{\tau}.$$

Фотонный кристалл вида  $[(SY)^N(TB)^M]^K$  содержит 2K(N+M)+1 границ раздела сред, включая внешние границы с воздухом, для каждой из которых выполняются 4 алгебраических уравнения. Из системы имеющихся 4[2K(N+M)+1] уравнений путем последовательного исключения амплитуд полей внутри ФК переходим к следующей системе четырех алгебраических уравнений, связывающих поля в воздухе на противоположных гра-

ницах ФК и записанных в матричном виде:

$$\hat{A}_0 \hat{E}_0(KD_3) \psi_0^{(\text{out})} = \hat{A}_S(\hat{T}_g)^K \hat{S}_{S0} \psi_0^{(\text{in})}. \tag{7}$$

Здесь  $\hat{A}_S(\hat{T}_g)^K\hat{S}_{S0}$  — матрица переноса размерности  $(4\times 4)$ , связывающая амплитуды полей волны в точках z=0 и  $z=KD_3$  по левым сторонам внешних поверхностей  $\Phi K$ , где  $\hat{T}_g=\hat{S}_{SB}(\hat{T}_{02})^M\hat{S}_{BS}|(\hat{T}_{01})^N$  — матрица переноса для сверхьячейки,  $\hat{T}_{01}$  и  $\hat{T}_{02}$  — матрицы переноса для подъячеек (SY) и (BT) соответственно:

$$\hat{T}_{01} = \hat{S}_{SY}\hat{E}_Y(d_T)\hat{S}_{YS}\hat{E}_S(d_S),$$

$$\hat{T}_{02} = \hat{S}_{BT}\hat{E}_T(d_T)\hat{S}_{TS}\hat{E}_B(d_B).$$
(8)

При этом  $\hat{S}_{ij} = \hat{A}_i^{-1} \hat{A}_j$  и  $\hat{S}_{S0} = \hat{A}_S^{-1} \hat{A}_0$  — матрицы, связывающие амплитуды полей по разные стороны границы слоев i и j соответственно, а также на границе слоя S и воздуха:

$$\psi_i = \hat{S}_{ij} \psi_j,$$

$$\psi_S = \hat{S}_{S0} \psi_0^{\text{in}}.$$
(9)

Матрицы коэффициентов  $\hat{A}_j$  для вычисления матриц  $\hat{S}_{ij}$  в выражениях (9) для магнитных слоев (j=Y,B) имеют следующий вид:

$$\hat{A}_{j} = \begin{pmatrix} 1 & 1 & \eta_{\mu j}^{-} & -\beta_{\mu j}^{-} \\ \delta_{\varepsilon j}^{+} & -\delta_{\varepsilon j}^{+} & \gamma_{\mu j}^{-} & \gamma_{\mu j}^{-} \\ -\beta_{\varepsilon j}^{+} & \beta_{\varepsilon j}^{+} & 1 \\ \gamma_{\varepsilon j}^{+} & \gamma_{\varepsilon j}^{+} & -\delta_{\mu j}^{-} & \delta_{\mu j}^{-} \end{pmatrix}.$$
(10)

Для немагнитных слоев ФК (j=S,T) и для воздуха (j=0) матрицы  $\hat{A}_j$  имеют квазидиагональную форму:

$$\hat{A} = egin{pmatrix} \hat{A}_j^{(s)} & \hat{0} \ \hat{0} & \hat{A}_j^{(p)} \end{pmatrix}$$
 ,

где  $\hat{A}_{j}^{(s)}$  и  $\hat{A}_{j}^{(p)}$  — матрицы размерности  $(2 \times 2)$  для s- и p-поляризованных волн:

$$\hat{A}_{j}^{(s)} = \begin{pmatrix} 1 & 1 \\ \delta_{arepsilon j}^{+} & -\delta_{arepsilon j}^{+} \end{pmatrix}, \quad \hat{A}_{j}^{(p)} = \begin{pmatrix} 1 & 1 \\ -\delta_{\mu j}^{-} & \delta_{\mu j}^{-} \end{pmatrix},$$
 $\delta_{arepsilon i}^{+} = k_{zj}/\Omega arepsilon_{j}, \quad \delta_{\mu j}^{-} = k_{zj}/\Omega \mu_{j},$ 

а  $\hat{0}$  — нулевые матрицы размерности  $(2 \times 2)$ . Диагональные матрицы  $\hat{E}_{i}(d_{i})$  в уравнениях (7):

$$\hat{E}_{j}(d_{j}) = \left(\exp(ik_{zj}^{+}d_{j})\exp(-ik_{zj}^{+}d_{j})\exp(ik_{zj}^{-}d_{j})\right)$$

$$\times \exp(-ik_{zj}^{-}d_{j}), \quad (j = Y, B),$$

$$\hat{E}_{j}(d_{j}) = \left(\exp(ik_{zj}d_{j})\exp(-ik_{zj}d_{j})\exp(ik_{zj}d_{j})\right)$$

$$\times \exp(-ik_{zj}^{-}d_{j}), \quad (j = S, T)$$

характеризуют набег фазы внутри слоев j, а  $\hat{E}_0(k_{z0}KD_3)$  определена как

$$\hat{E}_{0}(k_{z0}KD_{3}) = \left(\exp(ik_{z0}KD_{3})\exp(-ik_{z0}KD_{3})\right)$$

$$\times \exp(ik_{z0}KD_{3})\exp(-ik_{z0}^{-}KD_{3}).$$

Система уравнений (7) дает возможность найти связь амплитуд падающей и прошедшей волн через амплитудные коэффициенты пропускания  $T_{ss}$ ,  $T_{pp}$ ,  $T_{sp}$  и  $T_{ps}$ , являющиеся сложными функциями частоты и угла падения ЭМВ:

$$\begin{pmatrix} E_s^{(t)} \\ E_p^{(t)} \end{pmatrix} = \begin{pmatrix} T_{ss} & T_{sp} \\ T_{ps} & T_{pp} \end{pmatrix} \begin{pmatrix} E_s^{(i)} \\ E_p^{(i)} \end{pmatrix}. \tag{11}$$

Когда падающее электромагнитное излучение содержит только s-поляризованную составляющую ( $\mathbf{E}_p^i=0$ ) или, наоборот, только p-поляризованную ( $\mathbf{E}_s^i=0$ ), энергетические коэффициенты пропускания, как отношения интенсивности прошедшей ЭМВ к интенсивности падающей, могут быть записаны в виде

$$T_s = |T_{ss}|^2 + |T_{ps}|^2$$
 (при  $\mathbf{E}_p^i = 0$ ),  $T_p = |T_{sp}|^2 + |T_{pp}|^2$  (при  $\mathbf{E}_s^i = 0$ ). (12)

Следует отметить, что в отсутствие поглощения энергетические коэффициенты отражения определяются следующим образом:

$$R_s = 1 - T_s, \quad R_p = 1 - T_p.$$

Углы  $\Phi B \varphi_s$  и  $\varphi_p$  в случаях падения на поверхность  $\Phi K$  волны s- или p-поляризации определены так же, как в монографии [2]:

$$\tan \varphi_s = -\text{Re}\left(\frac{T_{ps}}{T_{ss}}\right), \ \tan \varphi_p = \text{Re}\left(\frac{T_{sp}}{T_{pp}}\right).$$
 (13)

### 3. Численные расчеты и обсуждение

Для численных расчетов коэффициентов пропускания и углов ФВ при прохождении ЭМВ сквозь исследуемый ФК мы учитываем частотную дисперсию показателей преломления  $n_i(\omega)$  материалов в ближнем ИК диапазоне в соответствии с данными работ [35-39]. Для немагнитных материалов SiO<sub>2</sub>, TiO<sub>2</sub> диэлектрическая проницаемость определяется как  $\varphi_i(\omega) = (n_i(\omega))^2$ , (j = S, T) [35,36]. Для YIG дисперсионная зависимость диагональных компонент тензора диэлектрической проницаемости  $\varepsilon_V(\omega)$  определена в соответствии с [37], диагональные компоненты тензора магнитной проницаемости  $\mu_Y = 1$ , а недиагональные компоненты этих тензоров равны соответственно  $\varepsilon_Y' = -2.47 \cdot 10^{-4}$ ,  $\mu_T' = 8.76 \cdot 10^{-5}$  [38]. Для Bi:YIG соответствующие материальные параметры имеют следующие значения:  $\varepsilon_B = 5.76 \ [39,40], \ \mu_B = 1, \ \mu_B' = 1.65 \cdot 10^{-5} \ [41,42].$ 

Толщины слоев в подъячейках (SY) и (TB)  $d_{0i}$  были выбраны в соответствии с условием Брэгга [43]:

$$n_j(\lambda_{01,2})d_{0j} = \lambda_{01,2}/4,$$
 (14)

где  $\lambda_{01,2}$  — брэгговские длины волн подъячеек (SY)и (TB) соответственно, а  $n_i(\lambda_{01,2})$  — показатели преломления слоев на соответствующей брэгговской длине волны. Оценим характерный размер ФК-структуры, взяв брэгговские длины волн подъячеек равными основной телекоммуникационной длине волны, т.е.  $\lambda_{01} = \lambda_{02} = 1.55 \,\mu$ m. С учетом дисперсии показателей преломления для данной длины волны получаем следующие толщины слоев:  $d_{0S} = 0.269 \,\mu\text{m}, \ d_{0T} = 0.158 \,\mu\text{m},$  $d_{0Y} = 0.176 \,\mu\text{m}, \, d_{0B} = 0.162 \,\mu\text{m}.$  Тогда толщина структуры  $[(SY)^3(TB)^5]^7$  равна 20.545  $\mu$ m.

 $\mathbf{C}$ практической наибольший точки зрения частотная интерес представляет область. соответствующая телекоммуникационным длинам волн  $\lambda_0=1.55\,\mu\mathrm{m}$   $(\omega_0\approx 1.215\,\mathrm{rad}\cdot\mathrm{PHz})$  и  $\lambda_0=1.3\,\mu\mathrm{m}$  $(\omega_0 \approx 1.449\,\mathrm{rad}\cdot\mathrm{PHz})$ . На рис. 2, a,b представлены частотно-угловые зависимости энергетических коэффициентов пропускания  $T_s(\omega,\theta)$  и  $T_p(\omega,\theta)$  в области первой 3Ф3 соответственно для случаев s- и р-поляризованных падающих ЭМВ для ФК-структуры  $[(SY)^3(BT)^5]^7$ . Рис. 2, c, d и e, f показывают детализированные фрагменты внутризонных полос пропускания для ЭМВ s- и p-поляризаций; вертикальные линии на рис. 2, c, d соответствуют частоте  $\omega_0 \approx 1.215 \,\mathrm{rad}\cdot\mathrm{PHz}$  $(\lambda_0 = 1.55 \,\mu\text{m})$ , на рис. 2,  $e, f - \omega_0 \approx 1.449 \,\text{rad} \cdot \text{PHz}$ .

Как видно из рис. 2, a, b, обе  $3\Phi 3$  содержат четыре достаточно широкие внутренние полосы пропускания, полуширины которых при  $\theta=0$ составляют  $\Delta\omega_1\approx 0.078\,\mathrm{PHz}\cdot\mathrm{rad},\ \Delta\omega_2\approx 0.056\,\mathrm{PHz}\cdot\mathrm{rad},$  $\Delta\omega_3\approx 0.106\,\mathrm{PHz}$ -rad и  $\Delta\omega_4\approx 0.077\,\mathrm{PHz}$ -rad. Для сравнения, в двухпериодическом магнитофотонном кристалле  $[YIG/(TiO_2/SiO_2)^4/TiO_2]^5$  [13] соответствующие величины составляют порядка 0.01 PHz·rad, т.е. примерно в 5-10 раз уже, чем в случае трехпериодического ФК.

Каждая из полос пропускания (рис. 2, c-f) имеет сложную структуру с расщеплением на шесть пиков, на которых коэффициент пропускания достигает значений, близких к единице. Такая кратность расщепления, как было показано в работах [13,14], определяется количеством сверхпериодов структуры и равна (K-1), что в данном случае (при K = 7) дает шесть максимумов. На отдельных участках полос пропускания эти пики могут сливаться в "плато", где коэффициент пропускания незначительно колеблется, не доходя до единицы (например, рис. 2, e).

При фиксированной частоте с увеличением угла падения пики становятся менее выраженными: уменьшается разность между соседними максимальными и минимальными значениями коэффициента пропускания в пределах внутризонной полосы. При фиксированном угле падения  $\theta$  с увеличением частоты ЭМВ контрастность пиков пропускания возрастает, особенно в случае sполяризованных волн (рис. 2, c, e).

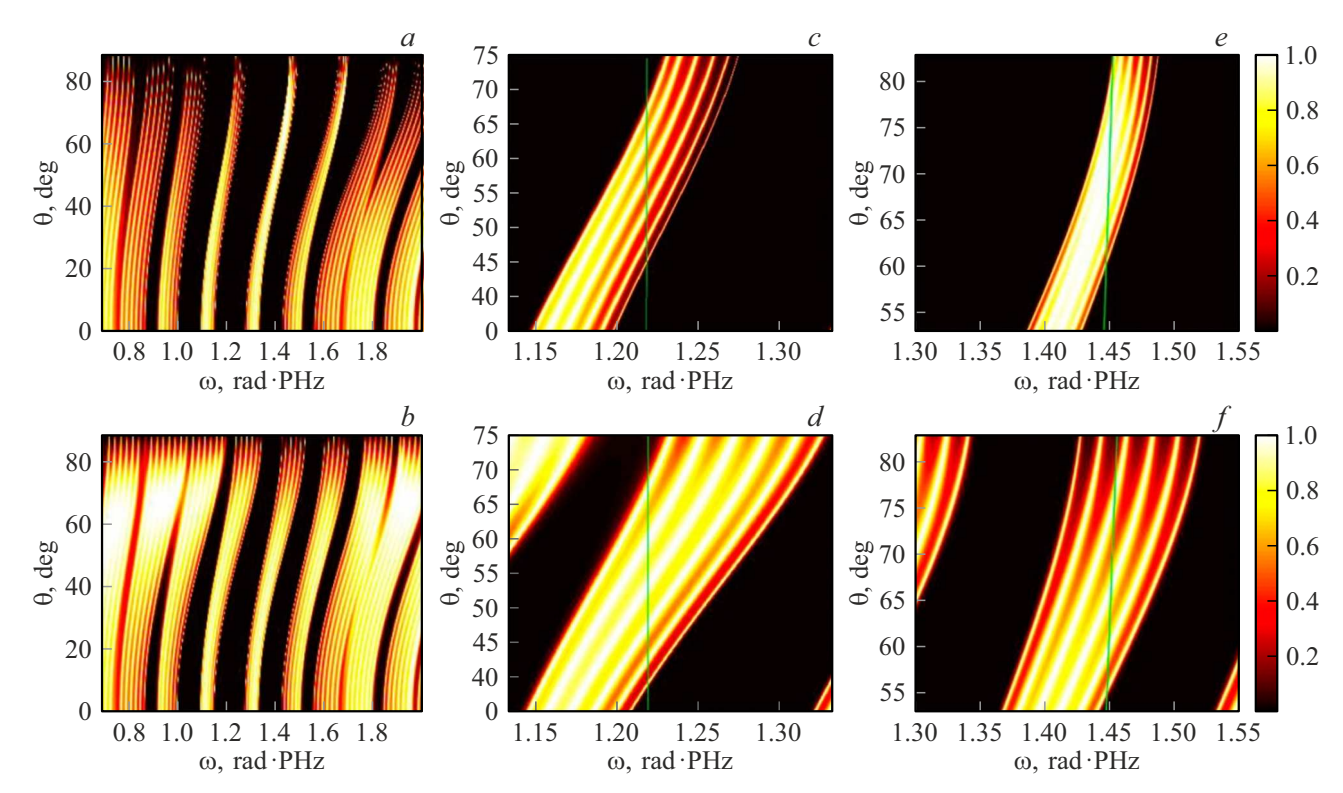
При нормальном падении электромагнитного излучения  $(\theta = 0)$  положения краев  $3\Phi 3$  и внутризонных полос пропускания практически совпадают. С отклонением угла падения от нормали к поверхности 3Ф3 sполяризованных волн расширяется, а р-поляризованных сужается. При этом поведение полос пропускания с увеличением  $\theta$  носит обратный характер: внутризонные полосы пропускания *s*-поляризованных волн заметно сужаются, а р-поляризованных, наоборот, расширяются (рис. 2, a, b).

Кроме внутризонных мод пропускания характерной особенностью спектров пропускания трехпериодических структур является наличие сателлитных зон по краям основной  $3\Phi 3$ , которые с увеличением  $\theta$  могут раскрываться: например, сателлитная зона для волн sполяризации расположена по частоте ниже 0.8 rad·PHz при углах  $\theta > 40^{\circ}$ , а для *p*-поляризованных волн при  $\theta > 75^{\circ}$  — правее высокочастотного края основной 3Ф3. Кроме того, в спектре р-поляризованных волн низкочастотный край 3ФЗ может сливаться с внутризонной полосой пропускания, как на рис. 2, b при  $\theta > 55^{\circ}$ . Наконец, с увеличением  $\theta$  имеет место синее смещение спектра, что характерно для всех 1D ФК-структур.

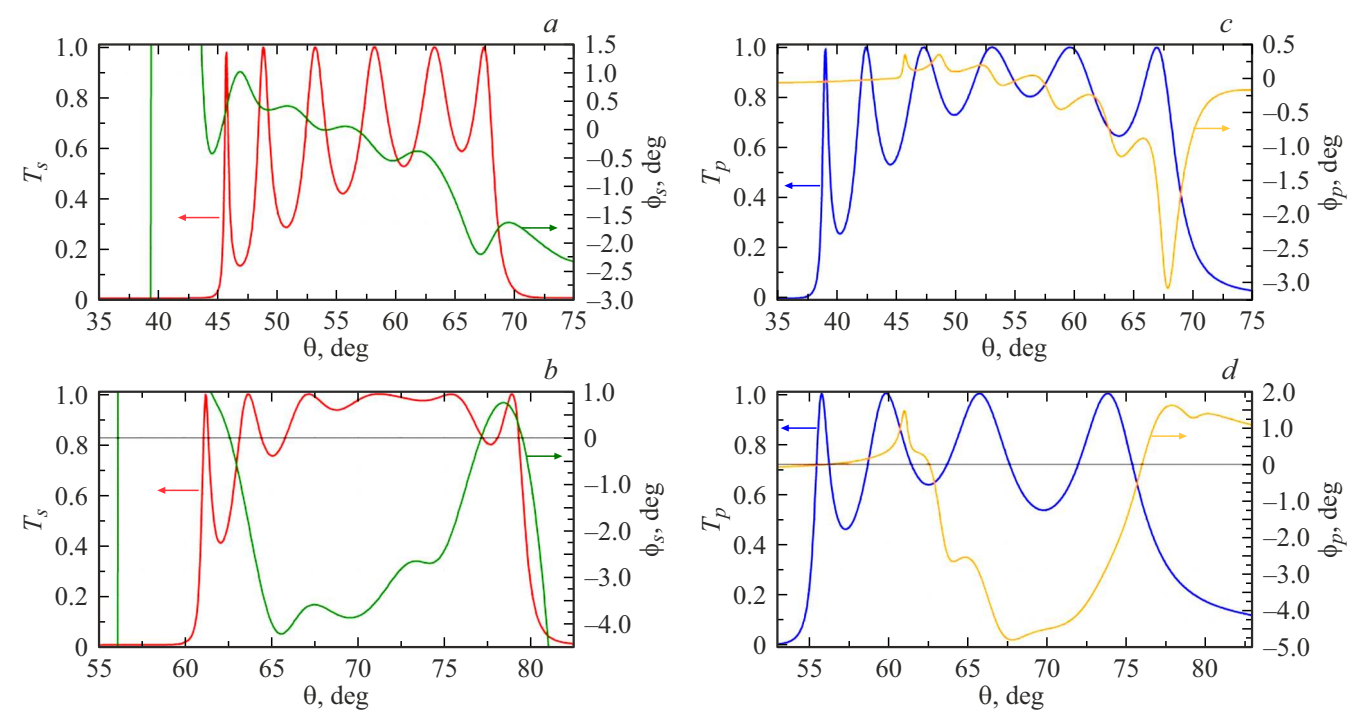
Следует отметить, что в ФК вида  $[(SY)^3(BT)^5]^7$ внутризонные полосы пропускания значительно шире, чем в ФК  $[(ST)^3(YB)^{10}]^3$ , рассмотренном нами в работе [33]. Например, для  $[(SY)^3(BT)^5]^7$  при  $\lambda_0 = 1.55\,\mu\mathrm{m}$  и  $\theta = 54^\circ$  ширина второй внутризонной полосы пропускания (расположена при  $\theta = 0$  в интервале  $1.0\,\mathrm{rad}\cdot\mathrm{PHz} < \omega < 1.2\,\mathrm{rad}\cdot\mathrm{PHz}$  (рис. 2)) равна  $\Delta\omega_s=0.052\,\mathrm{rad}\cdot\mathrm{PHz}$  для s-поляризованной ЭМВ и  $\Delta\omega_p=0.083\,\mathrm{rad}\cdot\mathrm{PHz}$  для p-поляризованной волны. Тогда как соответствующие значения для структуры  $[(ST)^3(YB)^{10}]^3$  составляют  $\Delta\omega_s = 0.011\,\mathrm{rad}\cdot\mathrm{PHz}$  и  $\Delta\omega_n = 0.023 \, \text{rad} \cdot \text{PHz}.$ 

На рис. 3, а, b показаны зависимости коэффициентов пропускания и углов  $\Phi B$  для структуры  $[(SY)^3(BT)^5]^7$ от угла падения ЭМВ на выбранной длине волны  $\lambda_0 = 1.55 \, \mu {\rm m}$  для ЭМВ *s*- и *p*-поляризаций соответственно. Аналогично, угловые зависимости  $T_s$  и  $T_p$ при  $\lambda_0 = 1.3 \, \mu {\rm m}$  приведены на рис. 3, *c*, *d*. Красная и синяя кривые соответствуют коэффициентам пропускания, зеленая и оранжевая — углам ФВ, рассчитанным с использованием формулы (13). Каждый из шести максимумов коэффициентов пропускания  $T_{s\,(\mathrm{max})}$  и  $T_{p\,(\mathrm{max})}$ имеет значения, близкие к 1, при углах  $\theta_{s\alpha}$  и  $\theta_{p\alpha}|$ соответственно ( $\alpha = 1, ..., 6$ ), а минимальные значения на полосе пропускания между пиками далеки от нуля: не ниже  $T_{s\,(\mathrm{min})}=0.18$  и  $T_{p\,(\mathrm{min})}=0.25$  для s- и pполяризованных волн при  $\lambda_0 = 1.55 \, \mu \mathrm{m}$  (рис. 3, a, b) и аналогично  $T_{s\,( ext{min})} = 0.4$  и  $T_{p\,( ext{min})} = 0.45$  при  $\lambda_0 = 1.3\,\mu ext{m}$ (рис. 3, a, b).

Как видно из сравнения рис. 3, a и b, а также рис. 3, cи d, угловая область пропускания ЭМВ s-поляризации несколько уже области пропускания р-поляризованной волны, а также ее левый край  $T_s$  сдвинут в область



**Рис. 2.** Спектры пропускания  $T_s(\omega,\theta)$  и  $T_p(\omega,\theta)$  для случаев s- и p-поляризованных падающих ЭМВ (верхний и нижний ряды соответственно) для  $\Phi K \ [(SY)^3(TB)^5]^7$ : a,b — в первой  $3\Phi 3$ ; c,d — фрагмент внутризонной полосы пропускания в окрестности  $\lambda_0=1.55\,\mu\mathrm{m}$  ( $\omega_0\approx1.215\,\mathrm{rad\cdot PHz}$ ); e,f — в окрестности  $\lambda_0=1.3\,\mu\mathrm{m}$  ( $\omega_0\approx1.449\,\mathrm{rad\cdot PHz}$ ). Брэгтовские длины волн для обеих ячеек равны  $\lambda_{01}=\lambda_{02}=1.55\,\mu\mathrm{m}$ . Вертикальными зелеными линиями на рис. c-f отмечены частоты  $\omega_0\approx1.215\,\mathrm{rad\cdot PHz}$  и  $\omega_0\approx1.449\,\mathrm{rad\cdot PHz}$ . Цветовая шкала представляет значения  $T_s$ ,  $T_p$ .



**Рис. 3.** Угловые зависимости коэффициентов пропускания и углов  $\Phi B$ :  $a,c-T_s(\theta)$  и  $\varphi_s(\theta)$ ;  $b,d-T_p(\theta)$  и  $\varphi_p(\theta)$  для структуры  $[(SY)^3(TB)^5]^7$  при  $\lambda=1.55\,\mu\mathrm{m}$   $(a,b),\ \lambda=1.3\,\mu\mathrm{m}$  (c,d). Красная и синяя кривые соответствуют коэффициентам пропускания, зеленая и оранжевая — углам  $\Phi B$ .

больших  $\theta$  по сравнению с левым краем  $T_p$ : положение первых пиков пропускания соответствует углам падения  $heta_{s1} = 45.80^\circ$  и  $heta_{p1} = 39.13^\circ$  для  $\lambda_0 = 1.55\,\mu\mathrm{m}$ (рис. 3, a, b). При этом положения последних (шестых) пиков пропускания для волн обеих поляризаций разнятся значительно меньше: соответственно  $\theta_{s6} = 67.4^{\circ}$ и  $\theta_{p6} = 66.93^{\circ}$ . Для *s*-поляризованных волн угловое расстояние между крайними пиками пропускания составляет  $\Delta \theta_s = 21.6^{\circ}$ , тогда как для *p*-поляризованных ЭМВ  $\Delta\theta_p = 27.8^{\circ}$ . Что касается углов ФВ, то в области полосы пропускания они меняются в пределах  $3.05^{\circ} \leq \varphi_p \leq 0.3^{\circ}$  и  $-2.3^{\circ} \leq \varphi_s \leq 1.0^{\circ}$ . При наибольшем отрицательном значении ФВ коэффициент прохождения ЭМВ высокий:  $T_s = 0.9$ , но при наибольшем положительном ФВ составляет всего  $T_s=0.15$  при угле падения  $\theta_s\approx 44^\circ.$  Здесь и далее  $\varphi_{s\,({
m max})}^\pm$  обозначают максимальное (при данных конкретных параметрах) положительное или отрицательное ФВ. Для волн p-поляризации  $\phi_{p({
m max})}^- = -3.05^\circ$  при  $heta_s pprox 66^\circ$  также совпадает с достаточно хорошим пропусканием ЭМВ:  $T_p=0.82$ , а  $\varphi_{p(\max)}^+=0.3^\circ$  соответствуют коэффициентам пропускания  $T_p=0.65$  и  $T_p=0.85$  при  $\theta_ppprox 46^\circ$  и  $\theta_p \approx 48^\circ$  соответственно.

Следует также отметить, что в некоторых частотных интервалах, а также на некоторых интервалах углов падения ЭМВ углы ФВ могут достигать нескольких десятков градусов, как, например, при  $39^\circ \le \theta \le 43^\circ$  для *s*-поляризованных ЭМВ (рис. 3,a,b). Однако эти области соответствуют отсутствию пропускания ( $T_s \to 0$ ), что не имеет практического значения.

В случае  $\lambda_0=1.3\,\mu\mathrm{m}$  максимальные значения углов ФВ даже несколько больше:  $\varphi_{s\,(\mathrm{max})}^-=-4.2^\circ$  при  $T_s=0.79$  и  $\varphi_{p\,(\mathrm{max})}^-=-4.78^\circ$  при  $T_p=0.71$  (для сравнения рис. 3, a,b и c,d).

Далее рассмотрим частотные зависимости коэффициентов пропускания и углов  $\Phi B$  при углах падения  $\theta_{s\alpha}$ и  $\theta_{p\alpha}$ , определенных выше и соответствующих пикам пропускания при  $\lambda_0 = 1.55 \, \mu \mathrm{m} \, \left( \omega_0 \approx 1.215 \, \mathrm{rad \cdot PHz} \right)$ . На рис. 4 представлены частотные зависимости коэффициентов пропускания  $T_s(\omega)$  и  $T_p(\omega)$  и углов  $\Phi B \varphi_s(\omega)$ и  $\varphi_p(\omega)$  для s- и p-поляризованных ЭМВ (левый и правый столбцы соответственно) при углах падения  $\theta_{s1} = 45.80^{\circ}$  (a) и  $\theta_{p1} = 39.13^{\circ}$  (d);  $\theta_{s6} = 67.40^{\circ}$  (b);  $\theta_{p6} = 66.93^{\circ}$  (c). Эти углы соответствуют первому и шестому пикам  $T_s$  и  $T_p$  на рис. 3, a, b соответственно. Для *s*-поляризованных волн в пределах полосы пропускания значения углов ФВ меняются в пределах  $-4.73^{\circ} \le \varphi_s \le 0.99^{\circ}$  при  $\theta_{s\,1} = 45.80^{\circ}$  и  $-2.16^{\circ} \le \varphi_s \le 0.59^{\circ}$  при  $\theta_{s6} = 67.40^{\circ}$ . Однако здесь наибольшие по абсолютной величине отрицательные значения  $\Phi B \ \phi_{s\,(max)}^- = -4.73^\circ$  достигаются при малом значении  $T_s = 0.067$  и при  $\theta_{s1} = 45.80^\circ$ . Максимальным, близким к единице значениям коэффициента пропускания  $T_s = 0.99$  (первый, нижайший по частоте пик при  $\omega = 1.166\,\mathrm{rad}\cdot\mathrm{PHz})$  соответствует  $\varphi_s = -2.98^\circ$  и, кроме того,  $\varphi_s = -1.45^{\circ}$  (второй пик при  $\omega = 1.174\,\mathrm{rad}\cdot\mathrm{PHz}$ ).

Для рассматриваемой ФК-структуры также может иметь место и положительное ФВ, но оно несколько слабее. При  $\theta_{s1}=45.80^\circ$  положительному ФВ соответствует узкий интервал частот  $1.202\,\mathrm{rad}\cdot\mathrm{PHz} \leq 1.216\,\mathrm{rad}\cdot\mathrm{PHz}$  в области пятого и шестого пиков пропускания (рис. 3,a), при  $\omega=1.112\,\mathrm{rad}\cdot\mathrm{PHz}$  максимальное положительное ФВ  $\varphi_s=0.99^\circ$  достигается при незначительном коэффициенте пропускания  $T_s=0.134$ .

С увеличением угла падения область частот, соответствующих положительным значениям угла  $\Phi B$   $\varphi_s$ , расширяется, захватывая при  $\theta_{s6}=67.40^\circ$  интервалы от третьего до пятого пиков и промежутка между вторым и третьим пиками:  $1.226\,\mathrm{rad}\cdot\mathrm{PHz} \le \omega \le 1.255\,\mathrm{rad}\cdot\mathrm{PHz}$ , при этом смещаясь вверх по частоте вместе с полосой пропускания (рис. 4,a,b). Максимум положительного вращения  $\varphi_{s(\mathrm{max})}^+=0.598^\circ$  при  $\omega=1.241\,\mathrm{rad}\cdot\mathrm{PHz}$  возникает при  $\theta_{s6}=67.40^\circ$ .

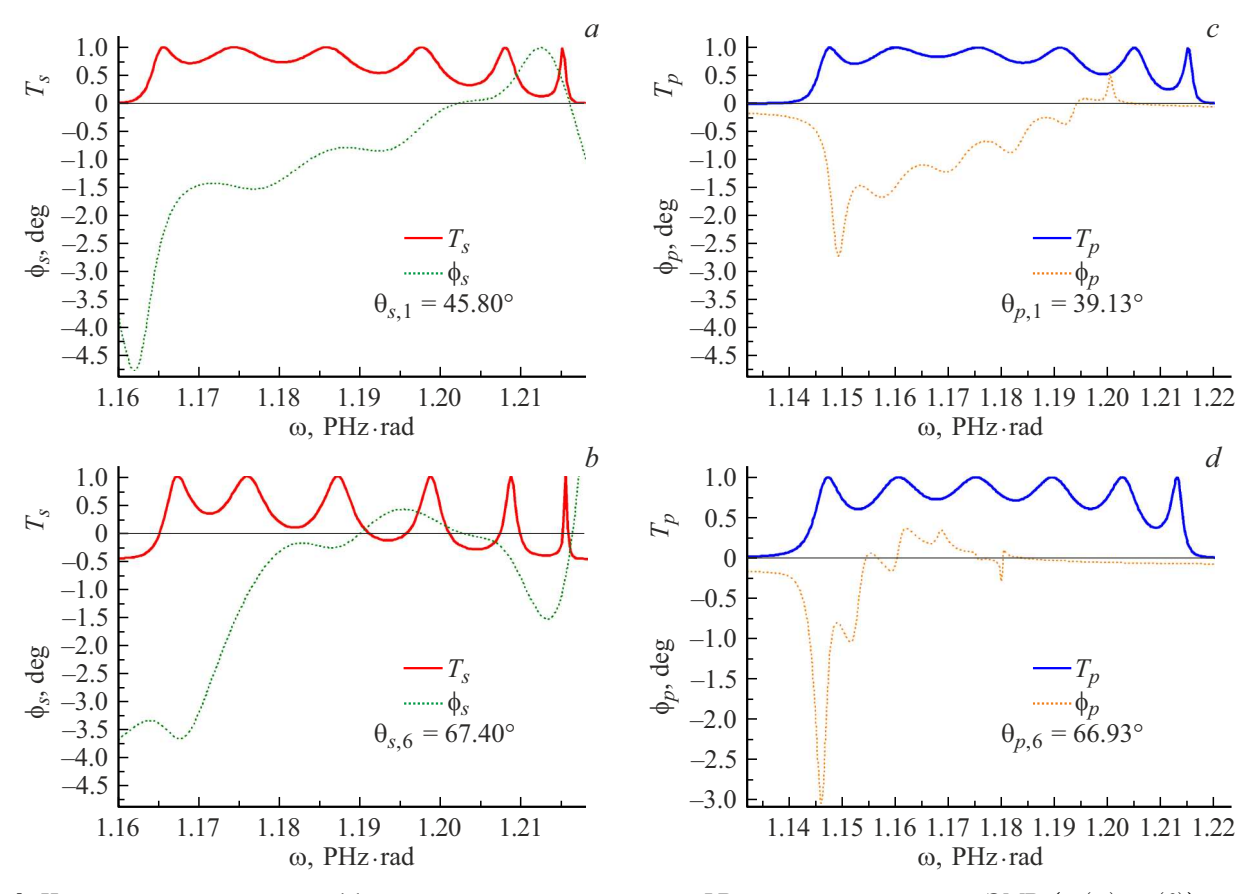
В случае p-поляризованных ЭМВ максимальные значения углов  $\Phi$ В соответствуют несколько большим значениям  $T_p$ , чем при s-поляризации. В отличие от случая s-поляризации области частот, на которых  $\Phi$ В имеет положительный знак, очень узкие (рис. 4, c, d).

Для сравнения в работе [12] для двухпериодических ФК вида  $[YIG/(TiO_2/SiO_2)^4]^5/YIG$  теоретические расчеты показали, что вблизи внутризонных полос пропускания максимальные значения (до 0.25° для p-поляризованного света и около  $1.8^{\circ}$  для sполяризованного света) углов ФВ соответствуют низкой пропускающей способности. А на частотах внутризонных мод пропускания пики ФВ невелики: вращение достигает значений до  $0.1^{\circ}$  для падающего света sполяризации, а для р-поляризованного падающего света  $\Phi B$  не превышает  $-0.02^{\circ}$  на соответствующих пиках пропускающей способности. Значения углов ФВ для трехпериодической структуры  $[(SY)^3(TB)^5]^7$ , полученные в настоящей работе, при некоторых частотах могут значительно (на один-два порядка) превышать значения для магнонно-фотонных кристаллов [12], причем области максимумов  $\varphi_s$  и  $\varphi_p$  могут совмещаться с соответствующими областями высокого пропускания.

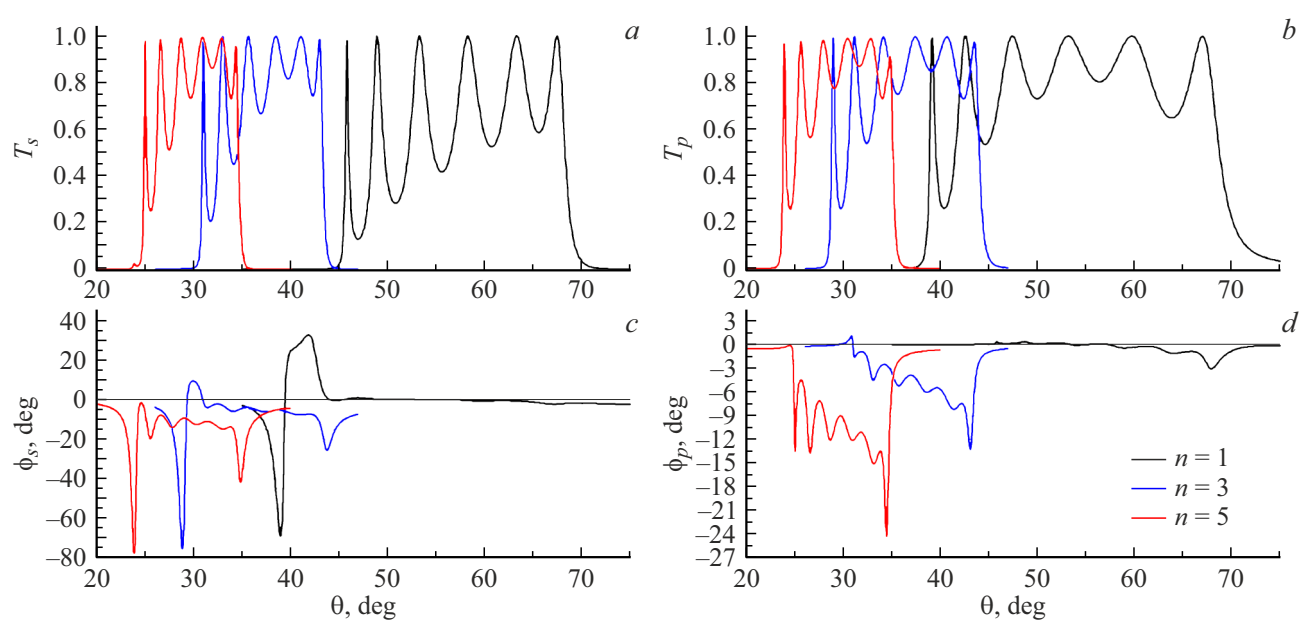
Таким образом, при фиксированных углах падения настройка частоты в пределах полосы пропускания позволяет достичь хороших результатов — значительных углов ФВ при максимальном прохождении ЭМВ.

Для еще большего увеличения эффекта Фарадея в трехпериодическом ФК можно выбрать магнитооптические слои YIG и Bi:YIG больших толщин  $d_Y$ ,  $d_B$  по сравнению с теми, что были использованы для вышеприведенных расчетов, оставляя без изменения толщины немагнитных слоев  $d_S$  и  $d_T$ . На рис. 5, a, b представлены зависимости коэффициентов пропускания  $T_S$ ,  $T_p$ , а также углов ФВ  $\phi_S$ ,  $\phi_P$  для длины волны  $\lambda_0 = 1.55\,\mu\mathrm{m}$  при n-кратном увеличении  $d_Y$  и  $d_B$ .

Как видно из рис. 5, a, b, при n-кратном увеличении толщин магнитных слоев угловые области пропускания значительно сужаются и смещаются в сторону



**Рис. 4.** Частотные зависимости коэффициентов пропускания и углов ФВ для s-поляризованных ЭМВ  $(T_s(\omega), \varphi_s(\theta))$  при углах падения  $\theta_{s1} = 45.80^\circ$   $(a), \theta_{s6} = 67.40^\circ$  (b) и p-поляризованных ЭМВ  $(T_p(\omega), \varphi_p(\theta))$  при  $\theta_{p1} = 39.13^\circ$   $(c), \theta_{p6} = 66.93^\circ$  (d). Интервалы частот соответствуют второй внутризонной полосе пропускания.



**Рис. 5.** Эволюция угловой зависимости коэффициентов пропускания  $T_s(\theta)$  (a),  $T_p(\theta)$  (b) и углов ФВ  $\varphi_s(\theta)$  (c),  $\varphi_p(\theta)$  (d) для ФК  $[(SY)^3(TB)^5]^7$  при  $\lambda_0=1.55\,\mu\mathrm{m}$   $(\omega_0\approx1.215\,\mathrm{rad}\cdot\mathrm{PHz})$  при n-кратном изменении толщин магнитных слоев:  $d_Y=n\,d_{0Y},\,d_B=n\,d_{0B}$  (n=1,3,5). Здесь  $d_{0Y}=0.1760\,\mu\mathrm{m},\,d_{0B}=0.1615\,\mu\mathrm{m}$ .

меньших углов падения. Так, например, для волн sполяризации при n = 1 (магнитные слои без увеличения) угловое расстояние между крайними (первым и шестым) пиками  $T_s$  составляет  $\Delta\theta_s = 21.60^\circ$ ,  $\Delta\theta_s = 11.48^\circ$ при n=3 и  $\Delta\theta_s=9.34^\circ$  при n=5. Соответствующие значения  $\Delta\theta_p$  для ЭМВ p-поляризованных несколько больше и при n=1 составляют  $\Delta\theta_p = 27.87^{\circ}$ , при  $n=3~\Delta\theta_p=14.31^\circ$ , а при  $n=5~\Delta\theta_p=10.87^\circ$ . Вместе с пиками  $T_s$  и  $T_p$  соответственно смещаются и графики зависимости углов  $\Phi B$  (рис. 5, c, d), а значения  $\varphi_s$  и  $\varphi_p$ , попадающие в область угловой полосы пропускания  $(0 \le T_{s,p}(\theta) \le 1)$ , существенным образом увеличиваются. Максимальное отрицательное вращение при n=1 составляет для s-поляризованной волны  $\varphi_{s\,({
m max})}^{-}=-2.19^{\circ}$  при  $heta_{s}=67.07^{\circ},$  а коэффициент пропускания при этом  $T_s = 0.926$ . Максимальное положительное вращение  $\phi_{s\,({
m max})}^{+}=1.02^{\circ}$  при  $\theta_{s}=46.93^{\circ}$ , коэффициент пропускания низкий:  $T_s = 0.129$ . На шестом пике  $T_s = 0.998$  достигается  $\varphi_s = -2.17^{\circ}$ . Отметим, что область высоких (до нескольких десятков градусов) значений  $\varphi_s$  не совпадает с полосой пропускания и не рассматривается как потенциально применимый результат.

р-поляризованных ЭМВ при Для n=1.  $\phi^-_{p(\mathrm{max})} = -3.06^\circ$  $\theta_p = 67.93^{\circ}$ при коэффициент  $T_p = 0.919.$ пропускания высокий: Максимальное положительное вращение  $\varphi_{p(\max)}^-=0.362^\circ$  имеет место при  $\theta_s = 45.8^{\circ}$ , но коэффициент пропускания низкий:  $T_s = 0.129$ . На шестом пике  $T_p = 0.999$  достигается значение  $\varphi_P = -1.61^{\circ}$ .

Троекратное утолщение магнитных слоев (n=3) дает для s-поляризованной волны  $\varphi_{s(\max)}^- = -24.85^\circ$  при низком коэффициенте пропускания  $T_s = 0.101$ . Но на пятом пике пропускания  $T_s = 0.997$  достигается ФВ  $\varphi_s = -7.31^\circ$  при  $\theta_s = 43.5^\circ$ . Для случая p-поляризации максимальное отрицательное значение  $\varphi_{p(\max)}^- = -13.2^\circ$  при  $\theta_p = 45.42^\circ$ , и коэффициент пропускания при этом высокий:  $T_p = 0.804$ .

При дальнейшем утолщении магнитных слоев до n=5 получаем для s-поляризованной волны  $\varphi_{s\,({\rm max})}^-=-41.78^\circ$  при низком коэффициенте пропускания  $T_s=0.191$ . Но на шестом пике при  $T_s=0.946$  получаем большое ФВ  $\varphi_s=-20.25^\circ$  при  $\theta_s=34.4^\circ$ . В случае p-поляризации максимум ФВ  $\varphi_{p\,({\rm max})}^-=-24.29^\circ$  достигается при хорошем пропускании:  $T_p=0.814$ , а на пятом пике коэффициента пропускания при  $T_p=0.911$  ФВ составляет  $\varphi_p=-13.78^\circ$ .

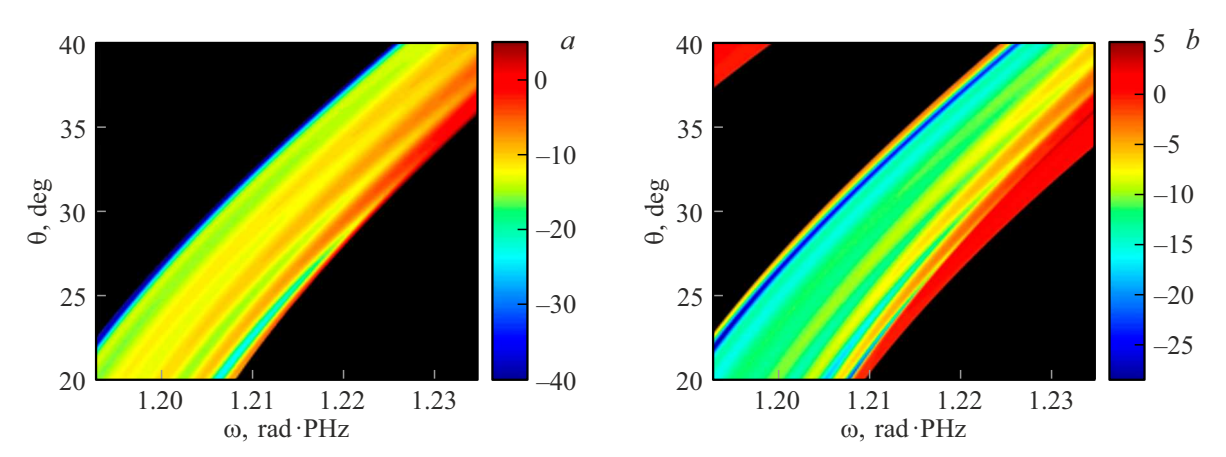
На рис. 6 показаны спектры ФВ  $\varphi_s(\omega,\theta)$  (a) и  $\varphi_p(\omega,\theta)$  (b) для структуры  $[(SY)^3(TB)^5]^7$  с пятикратно утолщенными магнитными слоями YIG и Ві:YIG в областях расположения внутризонных полос пропускания, соответствующих s- и p-поляризованным падающим ЭМВ (в окрестности  $\lambda_0=1.55\,\mu\mathrm{m}$   $(\omega_0\approx 1.215\,\mathrm{rad\cdot PHz})$ ). Как видно из рис. 6, a, наиболее сильное отрицательное ФВ имеет место для s-поляризованного излучения на низкочастотном

краю полосы пропускания:  $\varphi_s \sim (-40^\circ - -30^\circ)$ . На высокочастотном краю полосы пропускания в зависимости от угла падения  $\theta$  ФВ  $\varphi_s$  может принимать как отрицательные, так и положительные значения в пределах  $\pm 5^\circ$ . Для p-поляризованных ЭМВ наибольшие значения положительного вращения  $\varphi_p$  (несколько градусов) достигаются либо на высокочастотном краю полосы пропускания, либо (с увеличением  $\theta$ ) в точках, смещенных от него к центру полосы. Но в отличие от случая s-поляризации резкий отрицательный экстремум порядка  $\varphi_p \sim -25^\circ - 20^\circ$  расположен не по высокочастотному краю полосы пропускания, а при частотах, слегка смещенных от края в направлении ее центра (рис. 6, b).

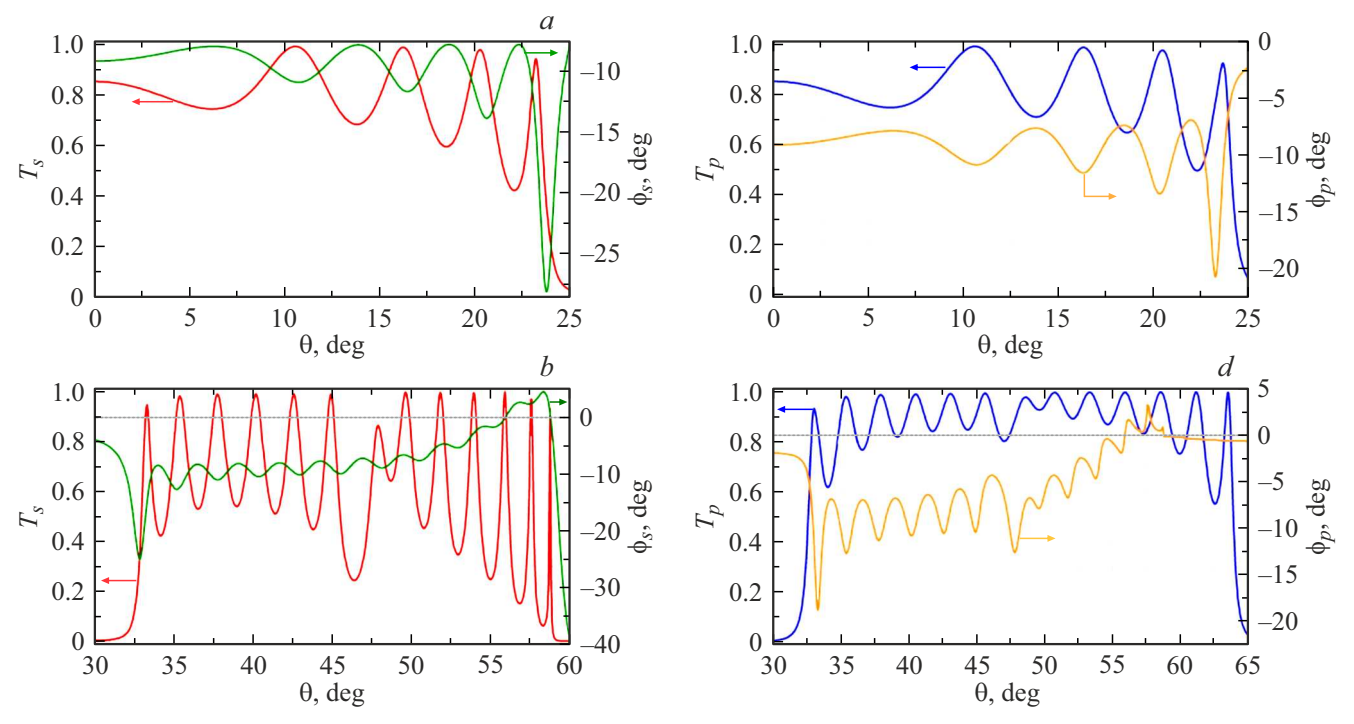
Для длины волны  $\lambda_0 = 1.3 \, \mu \mathrm{m}$  в случае пятикратно утолщенных магнитных слоев в  $[(SY)^3(TB)^5]^7$  расчеты дают хорошие совпадения максимумов ФВ и коэффициентов пропускания. Здесь имеются два угловых интервала:  $0 < \theta < 25^{\circ}$  и  $30 < \theta < 65^{\circ}$ , разделенные областью ЗФЗ. В первом интервале, представленном на рис. 7, а для *s*-поляризованных волн, при высоких значениях коэффициентов пропускания  $T_s = 0.976$  (при  $heta_s = 16.42^\circ)$  и  $T_s = 0.904$  (при  $heta_s = 20.58^\circ)$  углы  $\Phi B$ составляют  $\varphi_s = -11.63^\circ$  и  $\varphi_s = -13.81^\circ$  соответственно. В этом случае максимальное значение ФВ для s-поляризованной волны  $\phi_{s(\max)}^- = -28.05^\circ$  достигается при  $\theta_s = 23.75^{\circ}$  и  $T_s = 0.334$ . Для *p*-поляризованных ЭМВ (рис. 7, b) максимальное отрицательное значение  $arphi_{p(\max)}^- = -20.74^\circ$  при  $heta_p = 23.25^\circ$  и коэффициенте пропускания  $T_p = 0.762$ . Также имеется совпадение других максимумов, например,  $\varphi_{p(\max)}^- = -13.43^\circ$ (при  $\theta_p = 20.33^\circ$ ) и  $T_p = 0.967$  (рис. 7, b). Второй интервал показан на рис. 7, c, d и соответствует уже краю 3Ф3, где максимум ФВ составляет для *s*-поляризованной ЭМВ  $\phi_{s(max)}^{-} = -25.13^{\circ}$  $(\theta_s = 32.86^\circ)$ ,  $T_s = 0.339$ . В достаточно широком интервале углов падения  $(33.8^\circ < \theta_p < 49.0^\circ)$  значения  $\Phi B$  изменяются в пределах  $-13^\circ < \phi_p < -7^\circ$  при пропускании  $0.43 < T_p < 0.99$ . Для p-поляризованной волны (рис. 7,d) максимальное отрицательное  $\Phi B$  $\varphi_{p({
m max})}^{-} = -18.78^{\circ}$  достигается при высоком пропускании  $T_p = 0.8516 \ (\theta_p = 33.27)$ . Большинство остальных пиков ФВ расположены в интервале значений  $-14^{\circ} < \phi_p^- < -7^{\circ} \ (33.5^{\circ} < \theta_p < 49.8^{\circ})$ , которым соответствуют высокие значения коэффициента пропускания в пределах  $0.62 < T_p < 0.97$ .

Отметим, что 180-градусное перемагничивание ФКструктуры будет приводить к изменению знака ФВ на противоположный. Таким путем можно для тех же поляризаций ЭМВ, частот и углов падения получить такие же по абсолютной величине, но положительные значения ФВ  $\varphi_s \sim (30^\circ - 40^\circ)$  и  $\varphi_s \sim (20^\circ - 25^\circ)$ .

Возможность совмещения спектральных максимумов оптического пропускания и больших значений угла Фарадея, хотя и не является уникальным эффектом, остается в рассматриваемом диапазоне длин волн (ближ-



**Рис. 6.** Спектры углов ФВ  $\varphi_s(\omega,\theta)$  (a) и  $\varphi_p(\omega,\theta)$  (b) для структуры  $[(SY)^3(TB)^5]^7$  с утолщенными магнитными слоями YIG и Bi:YIG:  $d_Y = 5d_{0Y} = 0.8800\,\mu\text{m}$ ,  $d_B = 5d_{0B} = 0.8075\,\mu\text{m}$ . Черные области соответствуют пренебрежимо малым значениям коэффициентов пропускания:  $T_s(\omega,\theta) \to 0$  (a) и  $T_p(\omega,\theta) \to 0$  (b), т.е. показывают области 3ФЗ. Цветовая шкала представляет значения углов ФВ в градусах.



**Рис. 7.** Угловые зависимости коэффициентов пропускания и углов ФВ:  $T_s(\theta)$  и  $\varphi_s(\theta)$  (a,c);  $T_p(\theta)$  и  $\varphi_p(\theta)$  (b,d) при  $\lambda=1.3\,\mu\mathrm{m}$  ( $\omega_0\approx1.449\,\mathrm{rad}\cdot\mathrm{PHz}$ ) для структуры  $[(SY)^3(TB)^5]^7$  с утолщенными магнитными слоями YIG и Bi:YIG:  $d_Y=5d_{0Y}=0.8800\,\mu\mathrm{m}$ ,  $d_B=5d_{0B}=0.8075\,\mu\mathrm{m}$ . Красная и синяя кривые соответствуют коэффициентам пропускания, зеленая и оранжевая — углам ФВ.

ний ИК) довольно редким результатом. Совмещения максимальных значений пропускания с гигантскими значениями углов ФВ в различных однопериодических ФК с дефектным слоем были описаны в работах [18,29,30,44]. Например, в [30] на ФК-структурах ( $\mathrm{SiO_2/TiO_2}$ ) $^k/\mathrm{BiYIG/(TiO_2/SiO_2)}^k$  численно получено ФВ с удельным значением  $-28^\circ/\mu\mathrm{m}$ . Однако такие гигантские значения имеют место при очень низком ( $\sim 2\%$ ) пропускании. Хорошее пропускание ( $\sim 73\%$  и  $\sim 87\%$ ) сопровождается удельным вращением  $-1^\circ/\mu\mathrm{m}$ 

и  $-0.83^\circ/\mu$ m соответственно, а среднему коэффициенту прохождения ( $\sim 42\%$ ) соответствует ФВ  $-2.8^\circ/\mu$ m [30]. Расчеты, проведенные в [44] для магнитного ФК на основе GGG и Ві:YIG с двумя (магнитным и немагнитным) дефектными слоями показали, что при определенных параметрах структуры удельное ФВ достигает  $2^\circ-4.8^\circ/\mu$ m при высоких значениях коэффициента пропускания (0.95-0.98). В работе [18] проведены теоретические расчеты ФВ на одномерном ФК (SiO<sub>2</sub>/GGG)<sup>N</sup>/Ві:YIG/(GGG/SiO<sub>2</sub>)<sup>N</sup>, содержащем магнитный дефект.

При некоторых комбинациях толщин дефектного слоя и количества периодов получено ФВ удельное вращение до нескольких градусов на микрон:  $\Phi \sim -1.5^\circ/\mu \mathrm{m}$  (при  $T_p \sim 0.9$ ),  $\Phi \sim -3^\circ/\mu \mathrm{m}$  (при  $T_p \sim 0.5$ ). Наибольшее значение  $\Phi \sim -6^\circ/\mu \mathrm{m}$  соответствует незначительному пропусканию  $T_p \sim 0.1-0.15$ . В работе [29] экспериментально наблюдалось гигантское ФВ в ФК с комплексными магнитными дефектами (два разных слоя Bi:YIG) вида ( $\mathrm{TiO_2/SiO_2}$ ) $^m/\mathrm{M/(SiO_2/TiO_2)^m}$ . В видимом диапазоне длин волн  $613-761\,\mathrm{nm}$  на некоторых образцах достигалось удельное вращение до  $66^\circ/\mu \mathrm{m}$  при T=0.6 ( $\theta_F=-20.3^\circ$ ).

Как правило, бездефектные периодические ФК не дают таких высоких значений ФВ, а также заметное ФВ имеет место при небольших значениях коэффициента пропускания ЭМВ. Например, в двухпериодическом (фотонно-магнонном) кристалле [YIG /(TiO<sub>2</sub>/SiO<sub>2</sub>)<sup>4</sup>/TiO<sub>2</sub>]<sup>5</sup>, рассмотренном в [12], максимальные значения удельного ФК для волн s- и p-поляризованных ЭМВ составляли соответственно  $\varphi_{s(\max)}^{\pm} = -1.5^{\circ}~(T_s \sim 0.02)$  и  $\varphi_{p(\max)}^{-} = -0.3^{\circ}~(T_p \sim 0.15)$ , что с учетом толщины всего ФК дало значения удельного вращения порядка  $\Phi_s = \pm 0.11^{\circ}/\mu$ m и  $\Phi_p = -0.02^{\circ}/\mu$ m. При пропускании, близком к единице, ФВ очень мало:  $\varphi_s \sim 0.01^{\circ},~\varphi_s \sim 0.03^{\circ}$ .

В настоящей работе мы показываем возможности достижения достаточно больших значений ФВ (от нескольких градусов до десятков градусов) при значительном пропускании именно на бездефектной периодической структуре. В  $\Phi K [(SY)^3 (TB)^5]^7$ , имеющем общую длину  $L_s = 20.511\,\mu{\rm m}$ , удельное  $\Phi{\rm B}$  на длине волны  $\lambda_0=1.3\,\mu\mathrm{m}$  достигает наибольших  $\Phi_p = -0.233^\circ/\mu\mathrm{m}$  $(\varphi_{p(\max)}^- = -4.78^\circ,$ значений  $T_p = 0.71)$  и  $\Phi_s = -0.21^\circ / \mu \mathrm{m}$   $(\varphi_{s(\mathrm{max})}^- = -4.2^\circ,$  $T_p = 0.79$ ). Для случая  $\lambda_0 = 1.55\,\mu{
m m}$  соответствующие удельные значения составляют  $\Phi_p = -0.15^\circ/\mu\mathrm{m}$  $(\phi_{p(\max)}^- = -3.05^\circ, \quad T_p = 0.82)$  и  $\Phi_s = -0.11^\circ/\mu \text{m}$  $(arphi_{s( ext{max})}^- = -2.3^\circ, \quad T_s = 0.9).$  Для ФК с пятикратно увеличенными толщинами магнитных  $(L_s = 57.903 \, \mu {
m m})$  наибольшие значения удельного  $\Phi B$  на длине волны  $\lambda_0 = 1.55 \, \mu \mathrm{m}$ :  $\Phi_p = -0.72^\circ / \mu \mathrm{m}$  $(\varphi_{p(\max)}^- = -41.78^\circ, T_p = 0.19),$  $\Phi_p = -0.42^\circ/\mu\mathrm{m}$  $(\phi_{p({
m max})}^- = -24.29^\circ, \quad T_p = 0.81)$  и  $\Phi_s = -0.32^\circ/\mu{
m m}$  $(arphi_{s( ext{max})}^- = -20.25^\circ, \quad T_p = 0.946).$  Для длины волны  $\lambda_0 = 1.3 \, \mu \mathrm{m}$  наибольшие значения удельного  $\Phi \mathrm{B}$  $\Phi_s = -0.49^\circ/\mu \mathrm{m}$ составляют  $(\varphi_{s\,(\text{max})}^{-} = -28.05^{\circ},$  $T_p = 0.34)$  и  $\Phi_p = 0.36^\circ/\mu{
m m}$   $(\phi^-_{p({
m max})} = -20.74^\circ,$  $T_p = 0.762$ ). Эти значения удельного  $\Phi B$  сравнимы с результатами теоретических расчетов, полученными в работе [11] для двух ФК-структур на основе SiO<sub>2</sub> и Ta<sub>2</sub>O<sub>5</sub> с комплексными магнитными дефектами из слоев Ві:ҮІС и SiO<sub>2</sub>, где удельные значения  $\Phi B$  достигают  $0.446^{\circ}/\mu m$ и  $0.676^{\circ}/\mu$ m при коэффициенте пропускания, близком к единице. В случае трехпериодического  $\Phi K [(SY)^3 (TB)^5]^7$ полученные значения удельного ФВ в несколько раз

меньше, чем в работе [18], но они на один — два порядка превосходят соответствующие значения ФВ в двухпериодических магнитных ФК [12].

#### Заключение

В настоящей работе мы показали, что в одномерном бездефектном трехпериодическом ФК на основе слоев из оксидов кремния и титана, а также магнитных слоев ферритов-гранатов YIG и Bi:YIG возможно сочетание высоких (близких к единице) значений коэффициентов пропускания и больших углов ФВ (до нескольких десятков градусов) в области внутризонных полос пропускания, близких к телекоммуникационным длинам волн  $\lambda_0 = 1.55\,\mu\text{m}$  и  $\lambda_0 = 1.3\,\mu\text{m}$ .

Значения углов ФВ для структуры  $(SiO_2/YIG)^3(TiO_2/Bi:YIG)^5]^7$  при некоторых частотах могут значительно (на один—два порядка) превышать значения для магнонно-фотонных кристаллов вида  $[YIG/(TiO_2/SiO_2)^4]^5/YIG$  [12]. Помимо этого, в трехпериодическом ФК максимумы ФВ s- и p-поляризованных волн могут совмещаться с соответствующими областями высокого пропускания. Таким образом, при фиксированных углах падения настройка частоты в пределах полосы пропускания позволяет достичь хороших результатов — значительных углов ФВ при максимальном пропускании ЭМВ.

Показана возможность поляризационной настройки (переключение поляризации падающей ЭМВ) угла ФВ и коэффициентов пропускания, а также настройки этих параметров путем изменения угла падения излучения ИК диапазона. Для обеих длин волн ( $\lambda_0=1.55\,\mu\mathrm{m}$  и  $\lambda_0=1.3\,\mu\mathrm{m}$ ) углы ФВ могут достигать сравнимых значений при достаточно высоком (> 70%) пропускании, т. е. структура может быть функциональной на двух рабочих частотах.

Приведенные результаты указывают на перспективность использования мультипериодических магнитофотонных кристаллов для потенциальных технических разработок устройств оптоэлектроники и нанофотоники. При этом следует отметить также, что по аналогии с ФК, рассмотренным в [10-12], трехпериодические ФК с магнитными слоями, в частности ФК вида  $[(ST)^{N}(YB)^{M}]^{K}$ , могут выступать в роли комплексных магнонных кристаллов, способных поддерживать и передавать (независимо от ЭМВ) магнонные возбуждения гигагерцевого диапазона. Согласно нашим оценкам, на структуре  $[(ST)^{N}(YB)^{M}]^{K}$  ФВ может достигать  $-63^{\circ}$ при умеренном пропускании ЭМВ. С учетом этой особенности такие трехпериодические системы можно использовать в качестве многофункциональной структуры (магнонно-фотонные кристаллы) с запрещенными магнонными и фотонными зонами в гигагерцевом и петагерцевом режимах соответственно, которые могут лечь в основу новых многофункциональных устройств на стыке фотоники и магноники.

#### Финансирование работы

Работа выполнена при поддержке Российского научного фонда (проект № 23-22-00466).

#### Конфликт интересов

Авторы заявляют, что у них нет конфликта интересов.

# Список литературы

- [1] A.K. Zvezdin, V.A. Kotov. *Modern Magnetooptics and Magnetooptical Materials* (Bristol, Institute of Physics Publishing, 1997). DOI: 10.1201/9780367802608
- [2] Magnetism, ed. by É. Du Trémolet de Lacheisserie, D. Gignouxand, M. Schlenker. (Boston, Springer, 2005).
- [3] J. Grafe, M. Schmidt, P. Audehm, G. Schutz, E. Goering. Rev. Sci. Instrum., 85, 023901 (2014). DOI: 10.1063/1.4865135
- [4] M. Atatüre, J. Dreiser, A. Badolato, A. Imamoglu. Nature Phys., 3, 101 (2007). DOI: 10.1038/nphys521
- [5] N. Dissanayake, M. Levy, A. Chakravarty, P.A. Heiden, N. Chen, V.J. Fratello. J. Appl. Phys., 99, 091112 (2011). DOI: 10.1063/1.3633344
- [6] Y.S. Dadoenkova, I.L. Lyubchanskii, Y.P. Lee, T. Rasing. Appl. Phys. Lett., 97 (11), 011901 (2010). DOI: 10.1063/1.3488679
- [7] T. Goto, A.V. Baryshev, K. Tobinaga, M. Inoue. J. Appl. Phys., 107, 09A946 (2010). DOI: 10.1063/1.3365431
- [8] T. Mikhailova, A. Shaposhnikov, A. Prokopov, A. Karavainikov, S. Tomilin, S. Lyashko, V. Berzhansky. In: *EPJ Web of Conferences* (2018), vol. 185, 02016.
  DOI: 10.1051/epjconf/201818502016
- [9] Y.S. Dadoenkova, F.F.L. Bentivegna, S.G.Moiseev. Phys. Scr., 98, 105006 (2019). DOI: 10.1088/1402-4896/ab2780
- [10] E.A. Diwan, F. Royer, D. Jamon, R. Kekesi, S. Neveau, M.F. Blanc-Mignon, J.J. Rousseau. JNN, 16, 10160 (2016). DOI: 10.1166/jnn.2016.12844
- [11] B. Gaiyan, D. Lijuan, F. Shuai, F. Zhifang. Opt. Mater., 35 (2), 252 (2012). DOI: 10.1016/j.optmat.2012.08.015
- [12] Y.S. Dadoenkova, N.N. Dadoenkova, I.L. Lyubchanskii, J. Klos, M. Krawczyk. IEEE Trans. Magn., 53, 2501005 (2017). DOI: 10.1109/TMAG.2017.2712278
- [13] J.W. Klos, M. Krawczyk, Y.S. Dadoenkova, N.N. Dadoenkova, I.L. Lyubchanskii. J. Appl. Phys., 115 (17), 174311 (2014). DOI: 10.1063/1.4874797
- [14] Y.S. Dadoenkova, N.N. Dadoenkova, I.L. Lyubchanskii, J.W. Klos, M. Krawczyk. J. Appl. Phys., 120 (7), 73903 (2016). DOI: 10.1063/1.4961326
- [15] J.W. Klos, M. Krawczyk, Y.S. Dadoenkova, N.N. Dadoenkova, I.L. Lyubchanskii. IEEE Trans. Magn., 50 (11), 2 (2014). DOI: 10.1109/TMAG.2014.2321532
- Y.S. Dadoenkova, N.N. Dadoenkova, J.W. Kłos, M. Krawczyk,
   I.L. Lyubchanskii. Phys. Rev. A, 96 (4), 43804 (2017).
   DOI: 10.1103/PhysRevA.96.043804
- [17] J.D. Joannopoulos, S.G. Johnson, J.N.J. Winn, R.D. Meade. Photonic Crystals. Molding the Flow of Light, 2nd ed. (Princeton, Prinstone University Press, 2008).
- [18] S.V. Eliseeva, Y.F. Nasedkina, D.I. Sementsov. Progr. Electromag. Res. M, 51, 131 (2016).
   DOI: 10.2528/PIERM16080403

- [19] I.S. Panyaev, L.R. Yafarova, D.G. Sannikov, N.N. Dadoenkova, Y.S. Dadoenkova, I.L. Lyubchanskii. J. Appl. Phys., 126 (10), 103102 (2019). DOI: 10.1063/1.5115829
- [20] I.S. Panyaev, N.N. Dadoenkova, Y.S. Dadoenkova, I.A. Rozhleys, M. Krawczyk, I.L. Lyubchanskii, D.G. Sannikov. J. Phys. D, 49 (43), 435103 (2016).
   DOI: 10.1088/0022-3727/49/43/435103
- [21] I.S. Panyaev, D.G. Sannikov, Y.S. Dadoenkova, N.N. Dadoenkova. IEEE Sens. J., 22 (23), 22428 (2022). DOI: 10.1109/JSEN.2022.3217117
- [22] I.S. Panyaev, D.G. Sannikov, N.N. Dadoenkova, Y.S. Dadoenkova. Appl. Opt., 60 (7), 1943 (2021).
   DOI: 10.1364/ao.415966
- [23] И.А. Глухов, С.Г. Моисеев. Опт. и спектр., **131** (11), 1475 (2023). DOI: 10.61011/OS.2023.11.57005.5095-23
- [24] A.D. Block, P. Dulal, B.J.H. Stadler, N.C.A. Seaton. IEEE Photonics J., 6, 0600308 (2014). DOI: 10.1109/JPHOT.2013.2293610
- [25] A. Kehlberger, K. Richter, M.C. Onbasli, G. Jakob, D.H. Kim, T. Goto, C.A. Ross, G. Gotz, G. Reiss, T. Kuschel, M. Klaui. Phys. Rev. Applied, 4, 014008 (2015). DOI: 10.1103/PhysRevApplied.4.014008
- [26] S. Mito, Yu. Shiotsu, J. Sasano, H. Takagi, M. Inoue. AIP Advances, 7 (5), 056316 (2017). DOI: 10.1063/1.4976952
- [27] F. Royer, B. Varghese, E. Gamet, S. Neveau, Y. Jourlin, D. Jamon. ACS Omega, 5, 2886 (2020). DOI: 10.21/acsomega.9b03728
- [28] T.V. Mikhailova, V.N. Berzhansky, A.N. Shaposhnikov, A.V. Karavainikov, A.R. Prokopov, Y.M. Kharchenko, I.M. Lukienko, O.V. Miloslavskaya, M.F. Kharchenko. Opt. Mater., 78, 521 (2018). DOI: 10.1016/j.optmat.2018.03.011
- [29] В.Н. Бержанский, А.Н. Шапошников, А.Р. Прокопов, А.В. Каравайников, Т.В. Михайлова, И.Н. Лукиенко, Ю.Н. Харченко, В.О. Голуб, О.Ю. Салюк, В.И. Белотелов. ЖЭТФ, 150, 859 (2016). DOI: 10.7868/S004445101611002X
- [30] M. Inoue, K.I. Arai, T. Fujii, M. Abe. J. Appl. Phys., 83 (11), 6768 (1998). DOI: 10.1063/1.367789
- [31] M. Inoue, R. Fujikawa, A. Baryshev, A. Khanikaev, P.B. Lim, H. Ushida, O. Aktsipetrov, A. Fedyanin, T. Murzina, A. Granovsky. J. Phys. D, 39, R151 (2006). DOI: 10.1109/INTMAG.2006.375428
- [32] D.O. Ignatyeva, T.V. Mikhailova, P. Kapralov, S. Lyashko, V.N. Berzhansky, V.I. Belotelov. Phys. Rev. Applied, 22 (4), 044064 (2024). DOI: 10.1103/PhysRevApplied.22.044064
- [33] И.А. Глухов, И.С. Паняев, Д.Г. Санников, Ю.С. Дадоенкова, Н.Н. Дадоенкова. Опт. и спектр., **132** (5), 557 (2024). DOI: 10.61011/OS.2024.05.58464.6401-24
- [34] D.W. Berreman. J. Opt. Soc. Am., 62 (4), 502 (1972). DOI: 10.1364/JOSA.62.000502
- [35] J.R. Devore. J. Opt. Soc. Am., 41 (6), 416 (1951). DOI: 10.1364/JOSA.41.000416
- [36] I.H. Malitson. J. Opt. Soc. Am., 55 (10), 1205 (1965).DOI: 10.1364/JOSA.55.001205
- [37] B. Johnson, A.K. Walton. Br. J. Appl. Phys., **16** (4), 475 (1965). DOI: 10.1088/0508-3443/16/4/310
- [38] M. Torfeh, H. Le Gall. Phys. Status Solidi, 63 (1), 247 (1981). DOI: 10.1002/pssa.2210630133
- [39] V. Doormann, J.P. Krumme, C.P. Klages, M. Erman. Appl. Phys. A, 34 (4), 223 (1984). DOI: 10.1007/BF00616576
- [40] M. Wallenhorst, M. Niemöller, H. Dötsch, P. Hertel, R. Gerhardt, B. Gather. J. Appl. Phys., 77 (7), 2902 (1995). DOI: 10.1063/1.359516

- [41] J.P. Krumme, C.P. Klages, V. Doormann. Appl. Opt., 23 (8), 1184 (1984). DOI: 10.1364/AO.23.001184
- [42] N.N. Dadoenkova, I.L. Lyubchanskii, M.I. Lyubchanskii, E.A. Shapovalov, Y.P. Lee. Frontiers in Optical Technology: Materials & Devices (Nova Science, New York, 2007), p. 22–72.
- [43] В.И. Белотелов, А.К. Звездин. Фотонные кристаллы и другие метаматериалы (Бюро Квантум, М., 2006) 143 с.
- [44] M.J. Steel, M. Levy, R.M. Osgood, Jr. IEEE Photonics Technology Letters, 12 (9), 1171 (2000). DOI: 10.1109/68.874225